



Universidad de Valladolid

FACULTAD DE CIENCIAS

TRABAJO FIN DE GRADO

Grado en Física

(ANEXO)

Simulaciones *ab initio* de la adsorción de moléculas gaseosas en MOFs dopados

**Autor: Luis Javier Amo Grasa
Tutor: Luis Miguel Molina Martín
Año 2022**

Índice general

1. Software empleado	1
1.1. GPAW	1
1.2. <i>makeinput</i>	4
1.3. recorta-MOF	5
2. Procedimiento detallado	9
3. Figuras de los resultados	13
3.1. Construcción de moléculas gaseosas y estructuras base	14
3.2. Adsorción de gases en átomos y moléculas diatómicas	17
3.3. Adsorción de gases en clústeres metálicos	21
3.3.1. Disociaciones de CH ₄	25
3.4. Adsorción de gases y átomos de metales de transición en el MOF-5	26
3.5. Adsorción de gases en MOF-5 dopado con átomos de metales de transición	30
3.6. Adsorción de gases en MOF-5 interpenetrado	34

Índice de figuras

2.1. Interfaz del <i>Xmakemol</i>	9
3.1. Moléculas gaseosas	14
3.2. Átomos metálicos	14
3.3. Moléculas diatómicas metálicas	14
3.4. Clústeres metálicos romboédricos	14
3.5. Clústeres metálicos tetraédricos	15
3.6. MOF-5	16
3.7. MOF-5 interpenetrado	16
3.8. Adsorciones de gases en átomos metálicos	17
3.9. Adsorciones de CO ₂ en Cu ₂	18
3.10. Adsorciones de CH ₄ en Cu ₂	18
3.11. Adsorciones de CO ₂ en Ag ₂	19
3.12. Adsorciones de CH ₄ en Ag ₂	19
3.13. Adsorciones de CO ₂ en Au ₂	20
3.14. Adsorciones de CH ₄ en Au ₂	20
3.15. Adsorciones de CO ₂ en Cu ₄	21
3.16. Adsorciones de CH ₄ en Cu ₄	22
3.17. Adsorciones de CO ₂ en Ag ₄	23
3.18. Adsorciones de CH ₄ en Ag ₄	23
3.19. Adsorciones de CO ₂ en Au ₄	24
3.20. Adsorciones de CH ₄ en Au ₄	24
3.21. Disociaciones de CH ₄	25
3.22. Adsorciones de CO ₂ en MOF-5	26
3.23. Adsorciones de CH ₄ en MOF-5	27
3.24. Adsorciones de Cu en MOF-5	28
3.25. Adsorciones de Au en MOF-5	29
3.26. Adsorciones de CO ₂ en MOF-5 dopado con Cu	30
3.27. Adsorciones de CH ₄ en MOF-5 dopado con Cu	31
3.28. Adsorciones de CO ₂ en MOF-5 dopado con Au	32
3.29. Adsorciones de CH ₄ en MOF-5 dopado con Au	33
3.30. MOF-5 interpenetrado. Celda primitiva y celda manipulada	34
3.31. Poros en el MOF-5 interpenetrado	34
3.32. Adsorciones de CO ₂ en el MOF-5 interpenetrado	35
3.33. Adsorciones de CH ₄ en el MOF-5 interpenetrado	36

Capítulo 1

Software empleado

1.1. GPAW

A continuación vamos a mostrar un ejemplo *script* de *Python* que utiliza GPAW. Estos archivos aparecen como `archivo.py`

```
1 # Librerias python para importar
2 from ase import Atom, Atoms
3 from gpaw import GPAW, FermiDirac, Mixer, MixerSum, MixerDif
4 from ase.optimize import BFGS
5 import numpy as np
6 from ase.io import write
7 from ase.constraints import FixAtoms
8 from ase.constraints import FixBondLength
9
10 # Introducir coordenadas atomicas y celda de simulacion
11 molecula = Atoms([
12 Atom('O', ( 0.000000, 0.000000, 0.000000)),
13 Atom('O', ( 3.000000, 0.000000, 0.000000)),
14 Atom('C', ( 1.500000, 0.000000, 0.000000))],
15 cell=(12.0, 12.0, 12.0))
16
17 # Centramos el sistema
18 molecula.center()
19
20 # Parametros calculo
21 calc = GPAW(xc='PBE', nbands = 15, txt='co2-relax-nonspin-1.txt',
22 maxiter=250, occupations=FermiDirac(width=0.05),
23 convergence={'energy': 0.0005, # eV / electron
24 'density': 1.0e-5,
25 'eigenstates': 2.0e-7, # eV^2 / electron
26 'bands': 'occupied'})
27
28 # Funcion que manda hacer los calculos
29 molecula.set_calculator(calc)
30
31 # Si solo queremos calcular la energia sin relajacion
32 # estructural, usar el comando en la linea siguiente
33 # molecula.get_potential_energy()
34
```

```

35 # Calcular relajacion estructural
36 relax = BFGS(molecula, trajectory='co2-relax-nonspin-1.traj')
37 relax.run(fmax=0.015, steps=50) # precision de la relajacion estructural
38
39 calc.write('co2-relax-nonspin-1.gpw')
40 # saca eigenvalues y densities
41 # Si queremos analizar orbitales se cambia a:
42 # calc.write('archivo.gpw', mode='all')
43 write ('geometry-CO2-nonspin-1.xyz', molecula)

```

Vamos a explicar cada uno de los parámetros a modificar dependiendo del sistema que estemos estudiando.

■ Clúster de entrada

En él se incluye el símbolo químico del átomo y sus coordenadas cartesianas en ángstroms. Por ejemplo describiríamos el clúster de CO2 así:

```

1 molecula = Atoms([
2 Atom('O', ( 0.000000, 0.000000, 0.000000)),
3 Atom('O', ( 3.000000, 0.000000, 0.000000)),
4 Atom('C', ( 1.500000, 0.000000, 0.000000))]

```

■ El tamaño de la celda

En el caso de querer usar una celda paralelepípeda usaremos:

```

1 cell=(x, y, z)

```

Si queremos otro tipo de celda tendremos que dar la terna de vectores que conformen la celda de la forma:

```

1 cell=((x1, y1, z1), (x2, y2, z2), (x3, y3, z3))

```

Si queremos crear una estructura que se replique en alguna dirección espacial tenemos que añadir el objeto *periodic bounded conditions* (pbc):

```

1 pbc=(direccion x, direccion y, direccion x)

```

Pondremos un 1 en las direcciones que queremos que se replique y 0 en las que no. Por ejemplo, si queremos que la estructura se replique en las tres direcciones, como es el caso del MOF-5, escribiríamos:

```

1 molecula = Atoms([
2 Atom('O', ( 0.000000, 0.000000, 0.000000)),
3 Atom('O', ( 3.000000, 0.000000, 0.000000)),
4 Atom('C', ( 1.500000, 0.000000, 0.000000))],
5 cell=(12.0, 12.0, 12.0), pbc=(1, 1, 1))

```

■ Parámetros de cálculo

Creamos una lista de parámetros necesarios para el cálculo:

```

1 | calc = GPAW(xc='PBE', nbands = 15, txt='archivo.txt',
2 | maxiter=250, occupations=FermiDirac(width=0.05),
3 | convergence={'energy': 0.0005, 'density': 1.0e-5,
4 | 'eigenstates': 2.0e-7, 'bands': 'occupied'})

```

Con `xc` fijamos el funcional de intercambio-correlación que usaremos, en nuestro caso el de Perdew-Burke-Ernzerhof (PBE).

Con `nbands` fijamos el número de bandas electrónicas. El código solo hace cálculos con los electrones de valencia y en cada banda caben dos electrones debido al principio de exclusión de Pauli. Sin embargo, debemos añadir unas bandas desocupadas auxiliares (un 25% de las de conducción aproximadamente) que ayudan con la convergencia de las funciones de onda y a analizar el GAP valencia-conducción. Calculamos el número de bandas de un compuesto A_nB_m como:

$$nbands = \frac{1}{2} [valencia(A) \cdot n + valencia(B) \cdot m] + bandas\ desocupadas \quad (1.1)$$

Con `txt` nombramos el archivo.txt en el que se guardaran los resultados de los cálculos.

Con `maxiter` fijamos el número máximo de iteraciones que realizará al resolver las ecuaciones de Kohn-Sham.

Con `occupations=FermiDirac(width=0.05)` fijamos el GAP entre estados ocupados y desocupados.

`width=0.05` controla lo estrecho que es el margen al aplicar la distribución de Fermi-Dirac, es decir la “distancia” entre los estados ocupados y desocupados.

Con `convergence` fijamos unos criterios para los que damos por convergidas las funciones de onda y finaliza el cálculo iterativo. Estos criterios son cambios en la energía, densidad, autovalores y bandas ocupadas respectivamente.

■ Relajación estructural

Fijamos la relajación estructural con:

```

1 | relax = BFGS(molecula, trajectory='archivo.traj')

```

Donde BFGS es el algoritmo empleado, `molecula` el objeto sobre el que se aplica la relajación y `trajectory` el archivo donde se guardan los datos de la relajación estructural, en nuestro caso `archivo.traj`.

Fijamos unos parámetros de parada de la relajación estructural con:

```

1 | relax.run(fmax=0.015, steps=250)

```

Donde `fmax` es la fuerza neta y, si es menor que este valor fijado, el cálculo de la relajación se da por finalizado. El parámetro `steps` es el máximo de desplazamientos atómicos que permitimos, si la fuerza tras todos los `steps` es mayor que `fmax` tenemos que reiniciar el cálculo desde la última geometría obtenida.

Es recomendable fijar un número máximo de desplazamientos atómicos ya que podemos llegar a una situación en la que se alternen dos valores, de fuerza neta, a la salida de cada iteración y el cálculo no converja nunca. En ese caso se relanza el cálculo a partir de la última geometría obtenida.

1.2. *makeinput*

Este programa, escrito en C, se encarga de pasar los datos del clúster escritos en un formato `archivo.xyz` que usa el *Xmakemol* a un formato `output.txt` que “entiende” el código GPAW. El programa está escrito en un archivo llamado `makeinput.c`:

```

1  #include <stdio.h>
2
3  int main(int argc, char *argv[]) {
4
5      if ( argc != 2 ) /* argc should be 2 for correct execution */
6      {
7          /* We print argv[0] assuming it is the program name */
8          printf( "usage: %s filename \n", argv[0] );
9      }
10     else
11     {
12         // We assume argv[1] is a filename to open
13         FILE *file = fopen( argv[1], "r" );
14
15         /* fopen returns 0, the NULL pointer, on failure */
16         if ( file == 0 )
17         {
18             printf( "Could not open file\n" );
19             return 0;
20         }
21
22
23     int i, N;
24
25     FILE *file2 = fopen("output.txt", "w");
26
27     char aux, letra[2];
28
29     fscanf(file, "%d", &N);
30     fscanf(file, "%c", &aux);
31     if(aux!=' ') fscanf(file, "%*[^\\n]\\n", NULL);
32
33
34     double POS[3];
35
36
37     fprintf(file2, "molecula = Atoms([ \\n");
38
39     for (i=0; i<N; i++) {
40     fscanf(file, " %c%c %lf %lf %lf", &letra[0], &letra[1], &POS[0], &POS[1], &POS
41     [2]);
42     if (i==N-1) {
43     if(letra[1]==' ')
44     fprintf(file2, "Atom(' %c', ( %lf, %lf, %lf)), \\n", letra[0], POS[0], POS[1],
45     POS[2]);
46     else
47     fprintf(file2, "Atom(' %c%c', ( %lf, %lf, %lf)), \\n", letra[0], letra[1], POS
48     [0], POS[1], POS[2]); }
49     else {

```

```

47 if(letra[1]!=' ')
48   fprintf(file2,"Atom(' %c', ( %lf, %lf, %lf)), \n",letra[0],POS[0],POS[1],
      POS[2]);
49 else
50   fprintf(file2,"Atom(' %c%c', ( %lf, %lf, %lf)), \n",letra[0],letra[1],POS
      [0],POS[1],POS[2]); }
51 }
52
53 fclose(file);
54 fclose(file2);
55
56 }
57 }

```

Lo compilamos y después lo usamos haciendo `makeinput` seguido del archivo `.xyz`:

```
$ makeinput archivo.xyz
```

1.3. recorta-MOF

Este programa, escrito en C, añade átomos a la celda primitiva del MOF-5 para recrear su estructura y poder visualizar átomos que se encuentran en celdas vecinas.

El programa está escrito en un archivo llamado `recorta-MOF.c`:

```

1  #include <stdio.h>
2
3  int main(int argc, char *argv[]) {
4
5      if ( argc != 2 ) /* argc should be 2 for correct execution */
6      {
7          /* We print argv[0] assuming it is the program name */
8          printf( "usage: %s filename \n", argv[0] );
9      }
10     else
11     {
12         // We assume argv[1] is a filename to open
13         FILE *file = fopen( argv[1], "r" );
14
15         /* fopen returns 0, the NULL pointer, on failure */
16         if ( file == 0 )
17         {
18             printf( "Could not open file\n" );
19             return 0;
20         }
21
22
23     int i, h, k, l, N, N2=0;
24
25     FILE *file2 = fopen("output.xyz", "w");
26
27
28     char aux;
29

```

```
30 fscanf(file, "%d", &N);
31 fscanf(file, "%c", &aux);
32 if(aux!=' ') fscanf(file, "%*[\n]\n", NULL);
33
34 double a = 13.15;
35
36 double red[3][3]={a,a,0.0},{a,0.0,a},{0.0,a,a};
37
38 double POS[N][3],POS2[40000][3],POS3[5000][3];
39 char letra[N][2],letra2[40000][2],letra3[5000][3];
40
41 double centro[3] = {-6.6,-6.6,0.0};
42 double min[3], max[3];
43
44 int zona[3] = {1,1,1};
45 char yes;
46
47 printf("Celda por defecto: +1, +1, +1 \n");
48 printf("Cambiamos celda? s/n \n");
49 scanf(" %c",&yes);
50 if(yes== 's' || yes== 'S') {
51 printf("Introduzca 3 numeros de valores +1 o -1: \n");
52 scanf("%d %d %d",&zona[0],&zona[1],&zona[2]);
53 }
54
55 double margen = 2.0;
56 printf("Cambiamos espacio de margen? s/n \n");
57 scanf(" %c",&yes);
58 if(yes== 's' || yes== 'S') {
59 printf("Introduzca valor de margen (>2.0): \n");
60 scanf("%lf",&margen);
61 }
62
63
64 for (i=0;i<3;i++) {
65     if(zona[i]>0) {
66         min[i] = centro[i] - margen;
67         max[i] = centro[i] + a + margen;
68     }
69     else {
70         min[i] = centro[i] - a - margen;
71         max[i] = centro[i] + margen;
72     }
73 }
74
75
76 for (i=0;i<N;i++) {
77 fscanf(file, " %c%c %lf %lf %lf",&letra[i][0],&letra[i][1],&POS[i][0],&
78     POS[i][1],&POS[i][2]);
79 //fscanf(file, "%*[\n]\n", NULL);
80 }
81
82
83 for(h=-2;h<=2;h++) {
```

```

84     for(k=-2;k<=2;k++) {
85         for(l=-2;l<=2;l++) {
86             for (i=0;i<N;i++) {
87                 POS2[N2][0] = POS[i][0] + h*red[0][0] + k*red[1][0] + l*red[2][0];
88                 POS2[N2][1] = POS[i][1] + h*red[0][1] + k*red[1][1] + l*red[2][1];
89                 POS2[N2][2] = POS[i][2] + h*red[0][2] + k*red[1][2] + l*red[2][2];
90                 letra2[N2][0]=letra[i][0];
91                 letra2[N2][1]=letra[i][1];
92                 N2 = N2 + 1;
93             }
94         }
95     }
96 }
97
98 int N3 = 0;
99
100 for (i=0;i<N2;i++) {
101
102     if ((POS2[i][0]>=min[0]) && (POS2[i][0]<=max[0]) && (POS2[i][1]>=min[1]) && (POS2[
103         i][1]<=max[1]) &&
104     (POS2[i][2]>=min[2]) && (POS2[i][2]<=max[2]))
105     {
106         letra3[N3][0]=letra2[i][0];
107         letra3[N3][1]=letra2[i][1];
108         POS3[N3][0] = POS2[i][0];
109         POS3[N3][1] = POS2[i][1];
110         POS3[N3][2] = POS2[i][2];
111         N3=N3+1;
112     }
113 }
114
115 fprintf(file2,"%d \n",N3);
116 fprintf(file2,"\n");
117
118 for (i=0;i<N3;i++) {
119     if(letra3[i][1]==' ')
120     fprintf(file2,"%c  %f  %f  %f \n",letra3[i][0],POS3[i][0],POS3[i][1],
121         POS3[i][2]);
122     else
123     fprintf(file2,"%c%c  %f  %f  %f \n",letra3[i][0],letra3[i][1],POS3[i
124         ][0],POS3[i][1],POS3[i][2]);
125 }
126
127 fclose(file);
128 fclose(file2);
129
130 }
131 }

```

Lo compilamos y después lo usamos haciendo `recorta-MOF` seguido del archivo `.xyz` que queremos manipular:

```
$ recorta-MOF archivo.xyz
```

Capítulo 2

Procedimiento detallado

A continuación vamos a describir un procedimiento general para realizar las simulaciones. Comenzamos creando el clúster de partida con la ayuda del *Xmakemol*, para ello crearemos un `geometria-inicial.xyz` como el ejemplo que se muestra a continuación:

```
3
O 0.0000000000000000 0.0000000000000000 0.0000000000000000
O 3.0000000000000000 0.0000000000000000 0.0000000000000000
C 1.5000000000000000 0.0000000000000000 0.0000000000000000
```

Donde se expresa el número de átomos en la primera línea, y en las siguientes el átomo con su símbolo químico acompañado de su posición en coordenadas cartesianas en ángstroms.

Podemos visualizar el clúster y manipular las posiciones de estos átomos usando el *Xmakemol*. En la Figura 2.1 podemos ver la interfaz del programa.

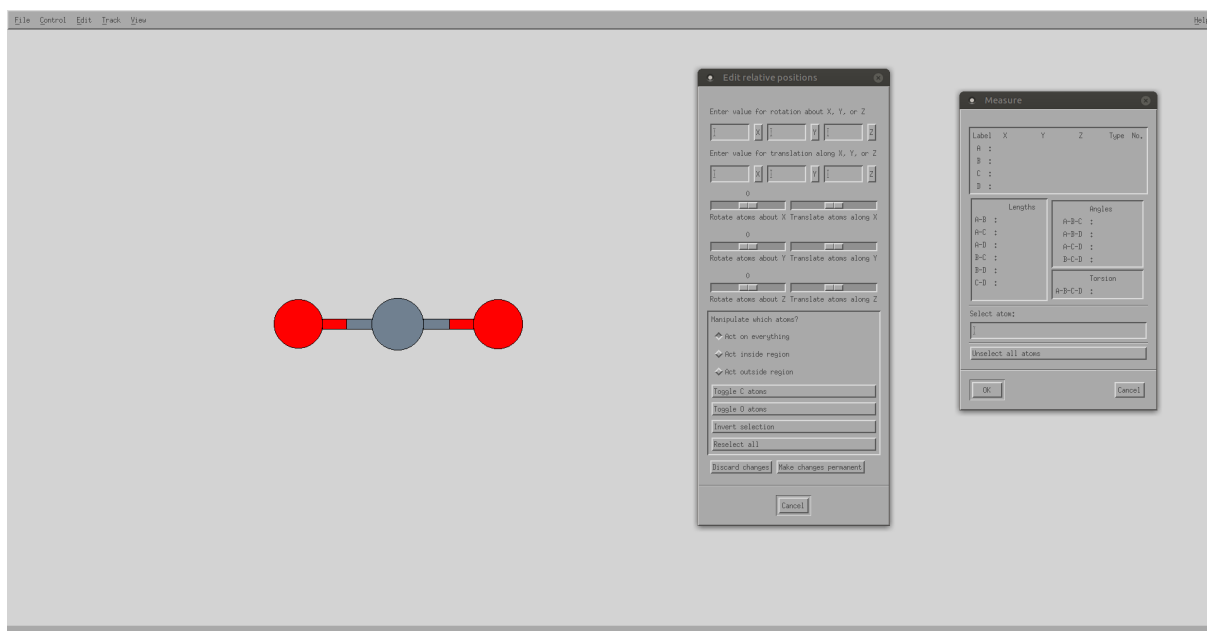


Figura 2.1: Interfaz del *Xmakemol*.

Es importante saber que, cuando estemos manipulando el MOF-5 o el MOF-5 interpenetrado, no podemos mover ni rotar la estructura del MOF; ya que esto cambiaría la base estructural y no conseguiríamos

replicar la red en todo el espacio, por tanto solo podemos mover y rotar los átomos y moléculas que queramos añadirle.

Una vez tenemos los átomos en las posiciones deseadas, queremos pasar del formato que utiliza el *Xmalkemol* a uno que pueda introducirse en GPAW. Para ello usamos el programa `makeinput.c` y hacemos la siguiente operación en la terminal:

```
$ makeinput geometria-inicial.xyz
```

Esto nos creará un fichero `output.txt`, el cuál tiene la siguiente forma:

```
molecula = Atoms([
Atom('O', ( 0.000000, 0.000000, 0.000000)),
Atom('O', ( 3.000000, 0.000000, 0.000000)),
Atom('C', ( 1.500000, 0.000000, 0.000000))],
```

Ahora nos tenemos que conectar al superordenador para realizar los cálculos. Para ello hacemos:

```
$ ssh -X direccion_del_servidor
```

Una vez dentro nos movemos a través de los directorios o carpetas y nos situamos en la que queremos usar para hacer el cálculo. Tendremos una *script* de *Python* similar a la mostrada en la sección (1.1), y en ella pegaremos el texto del `output.txt`.

Dentro de la *script* haremos los cambios en los parámetros que consideremos pertinentes dependiendo del sistema a estudiar.

En el caso de los clústeres metálicos hemos usado:

```
1 cell=(12.0, 12.0, 12.0)
```

En el caso de los MOFs hemos usado:

```
1 cell=((13.15, 13.15, 0.0), (13.15, 0.0, 13.15), (0.0, 13.15, 13.15)), pbc
   =(1,1,1)
```

Se hicieron cálculos para diferentes valores de celda para ver con cuáles se obtenía la menor energía.

Para cada clúster diferente habrá que calcular el número de bandas como hemos indicado en la sección (1.1).

En el directorio en el que está el *script* también tendremos un archivo `submit.txt` de la forma:

```
nohup mpirun -np 8 -machinefile /home/abenito/hostfiles/hostfileSXX gpaw-python
/home/abenito/directorio/geometria-inicial.py > geometria-final.out
```

En donde `/home/abenito/hostfiles/hostfileSXX` indica el nodo del superordenador en el que se realiza el cálculo, 8 indica el número de procesadores que usa en paralelo y `geometria-final.out` es el archivo que contendrá los resultados de los cálculos (número de iteraciones, hora, energía DFT y fuerza neta).

Podemos ver un ejemplo de archivo `geometria-final.out` a continuación:

```
BFGS: 0 13:24:57 -17.982756 11.3036
BFGS: 1 13:25:09 -18.884861 11.2861
BFGS: 2 13:25:23 -19.776189 11.0420
BFGS: 3 13:25:36 -20.639279 10.4781
BFGS: 4 13:25:49 -21.449244 9.6240
BFGS: 5 13:26:01 -22.174462 8.3638
BFGS: 6 13:26:14 -22.771598 6.5229
```

```
BFGS: 7 13:26:28 -23.192699 3.9507
BFGS: 8 13:26:40 -23.373640 0.3994
BFGS: 9 13:26:50 -23.374949 0.0531
BFGS: 10 13:26:56 -23.375145 0.0023
```

Para realizar el cálculo debemos conectarnos a un nodo del superordenador, para ello haremos:

```
$ ssh compute-X-X
```

Donde X-X indica el número del nodo.

Antes de lanzar el cálculo es conveniente comprobar si hay otros cálculos realizándose en el nodo, para ello podemos hacer:

```
$ qstat -f
```

Y así ver la información de los nodos (cuántos procesadores se están usando).

O bien, dentro del nodo, podemos hacer:

```
$ ps -fu abenito
```

Y así vemos los procesos que se están ejecutando en el nodo.

Una vez en el nodo vamos al directorio donde está `geometria-inicial.py` haciendo:

```
$ cd /home/abenito/directorio/
```

Y para lanzar el cálculo hacemos en el directorio:

```
$ ./submit.txt &
```

El `&` es importante escribirlo para que no colapse la terminal.

Ahora tenemos que esperar a que finalicen los cálculos y estar pendientes de que no colapsen. En caso de que colapsen y no converjan relanzaríamos el cálculo desde la última geometría.

Una vez finalizado el cálculo tendremos distintos tipos de archivos. Si hacemos `ls` en el directorio veremos algo similar a esto:

```
geometria-final.gpw      geometria-final.xyz
geometria-final.traj    geometria-inicial.py
geometria-final.txt     submit.txt
geometria-final.out
```

El archivo `geometria-final.xyz` es la geometría final tras la relajación estructural y la podemos visualizar con el `Xmakemol`. También nos es de interés el archivo `geometria-final.traj`, ya que con el podemos crear un archivo `movie.xyz` en el que visualizar todos los pasos de la relajación estructural usando el `Xmakemol`. Para crear el archivo `movie.xyz` hacemos lo siguiente para los clústeres normales:

```
$ ase-gui -o movie.xyz geometria-final.traj
```

Para el caso de una estructura periódica hacemos:

```
$ ase-gui -r 1,1,1 -o movie.xyz geometria-final.traj
```

Donde el `1, 1, 1` indica la celda primitiva. Si vamos añadiendo `+1`, nos añade la celda contigua en una de las direcciones de replicación (x, y, z). Ejemplo, si ponemos `2, 1, 1` nos representa también la

celda contigua a la primitiva en el eje x . En el caso del MOF-5 interpenetrado hemos usado el programa *recorta-MOF.c*, explicado en la sección (1.3), para poder visualizar mejor la estructura. Hacemos:

```
$ recorta-MOF geometria-final.xyz
```

Para hacer los cálculos de energías de corrección a las energías de unión hacemos lo siguiente, en el caso de los clústeres en los que estudiamos adsorciones:

```
$ run-dftd3-cluster geometria-final.xyz
```

Y hacemos lo siguiente, en el caso de los MOFs en los que estudiamos adsorciones:

```
$ run-dftd3-MOF geometria-final.xyz
```

En ambos casos tendremos que fijarnos antes en el archivo *geometria-final.xyz*, para saber como se disponen el fragmento base y el fragmento a adsorber en este archivo.

Finalmente, para traspasarnos un directorio desde el servidor del superordenador a nuestro ordenador personal, haremos el siguiente comando en nuestro ordenador personal:

```
$ scp -r direcciondelserveridor:home/abenito/directorio/ .
```

Donde *direcciondelserveridor:home/abenito/directorio/* es la ruta del directorio en el servidor y *.* refleja el directorio en el que estamos en nuestro ordenador personal.

En el caso de sólo querer pasarnos archivos haremos:

```
$ scp direcciondelserveridor:home/abenito/directorio/archivos .
```

Capítulo 3

Figuras de los resultados

Al igual que en la memoria del Trabajo de Fin de Grado se adjunta la Tabla 3.1 para facilitar la identificación de los átomos en las figuras.

Recordemos que, en las figuras de adsorciones de moléculas gaseosas en el MOF-5 limpio y dopado, están señaladas las moléculas gaseosas con una flecha azul. Y que, en las figuras del MOF-5 interpenetrado, las moléculas gaseosas están señaladas con una flecha azul y el origen de la celda primitiva con una flecha verde.

Tabla 3.1: Guía de identificación de átomos en las figuras.

Átomo	Símbolo	Color
Hidrógeno	H	Blanco
Oxígeno	O	Rojo
Carbono	C	Gris
Zinc	Zn	Marrón
Cobre	Cu	Azul
Plata	Ag	Plata
Oro	Au	Oro

NOTA: Para poder subir el PDF del Anexo a la sede electrónica se ha tenido que bajar la resolución. Es posible que algunas figuras se vean ligeramente borrosas.

3.1. Construcción de moléculas gaseosas y estructuras base

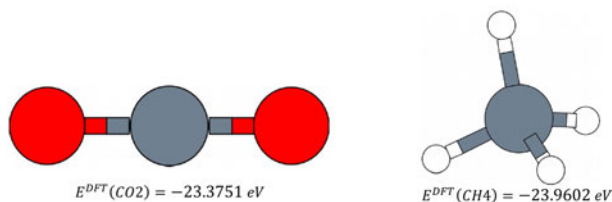


Figura 3.1: Estructuras relajadas obtenidas para CO₂ y CH₄ y sus energías DFT.

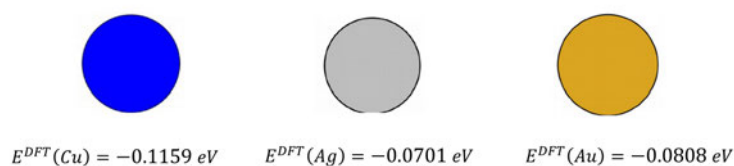


Figura 3.2: Átomos de Cu, Ag y Au con sus energías DFT.

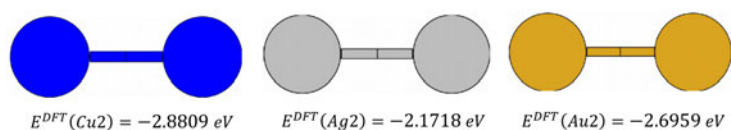


Figura 3.3: Moléculas diatómicas de Cu₂, Ag₂ y Au₂ con sus correspondientes energías DFT.

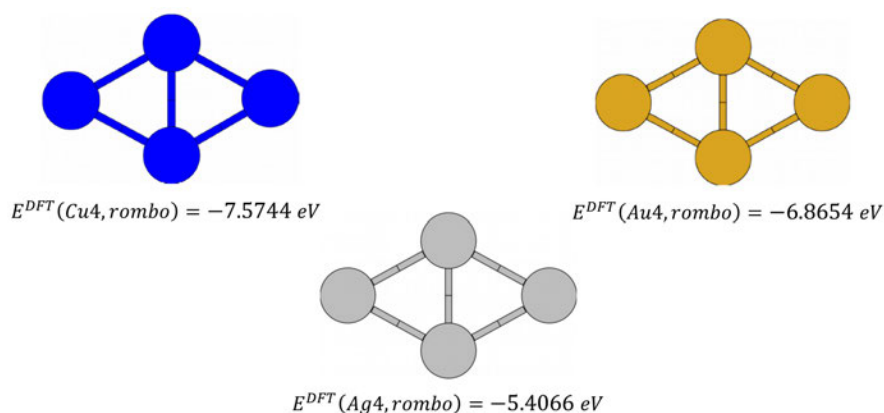


Figura 3.4: Clústeres de Cu₄, Ag₄ y Au₄ con estructura romboédrica y sus correspondientes energías DFT.

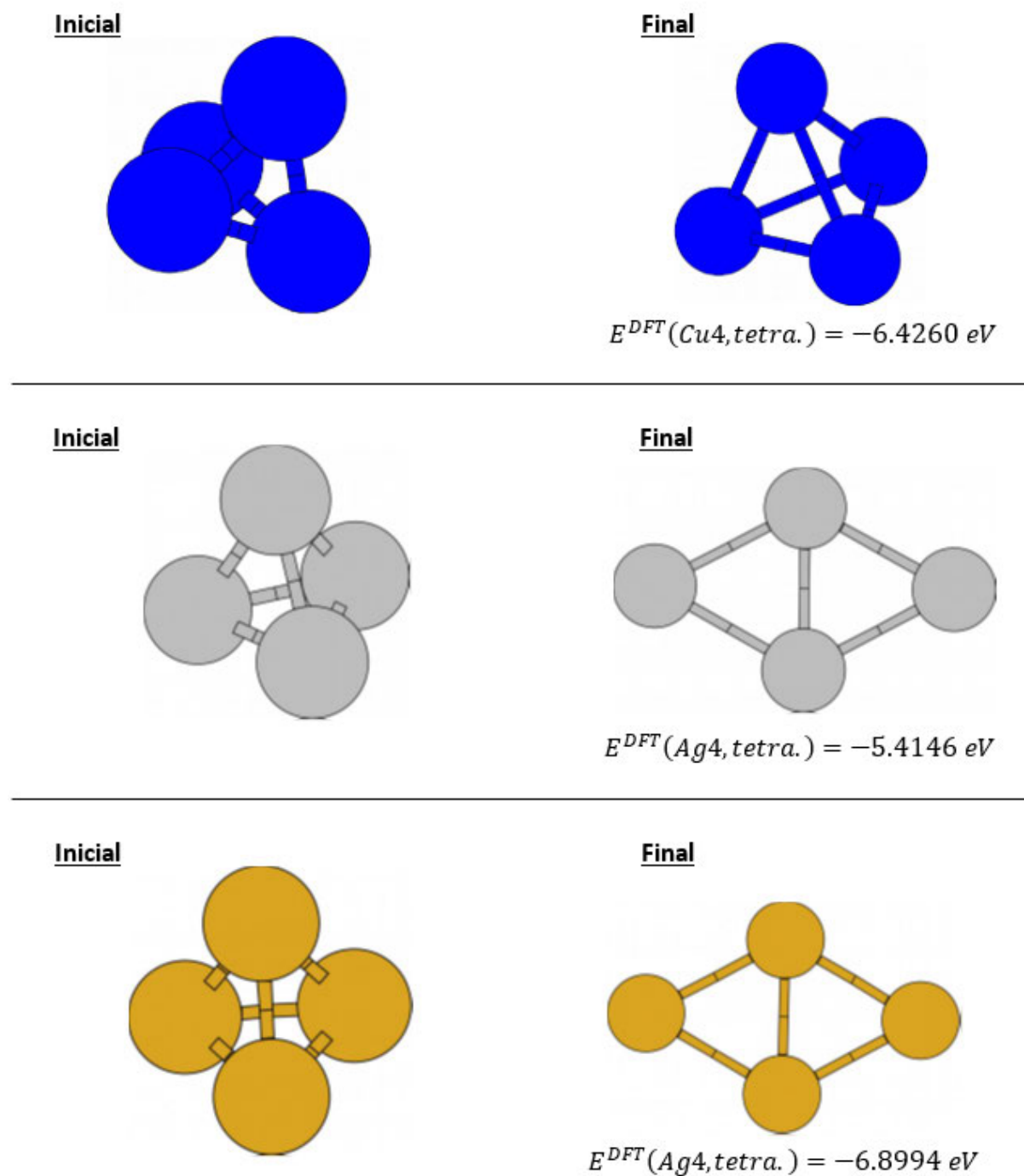


Figura 3.5: Geometrías tetraédricas antes (izq.) y después (dch.) de la relajación estructural del Cu₄ (arriba), Ag₄ (medio) y Au₄ (abajo) junto a sus la energías DFT tras la relajación.

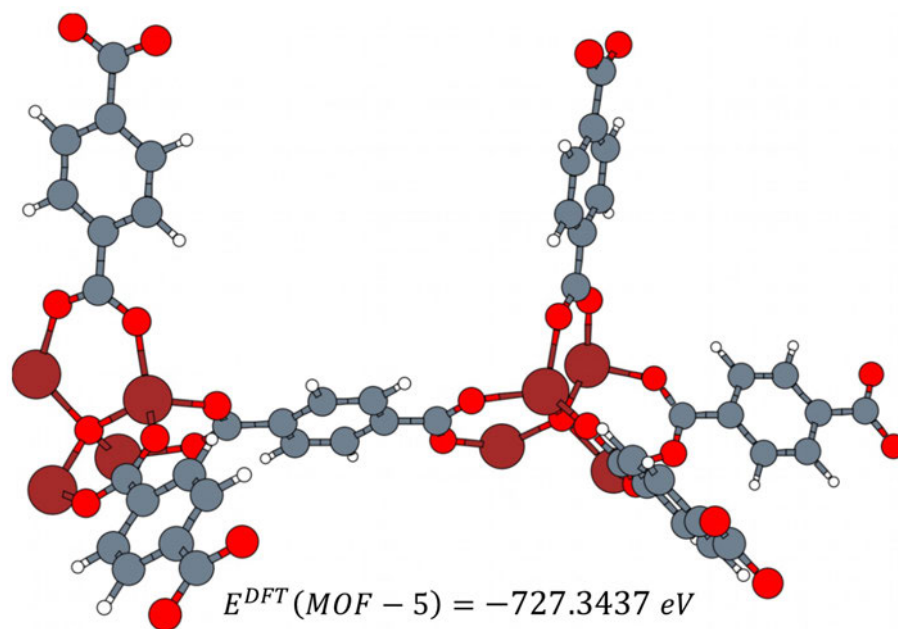


Figura 3.6: Celda primitiva del MOF-5 tras la relajación estructural y su correspondiente energía DFT.

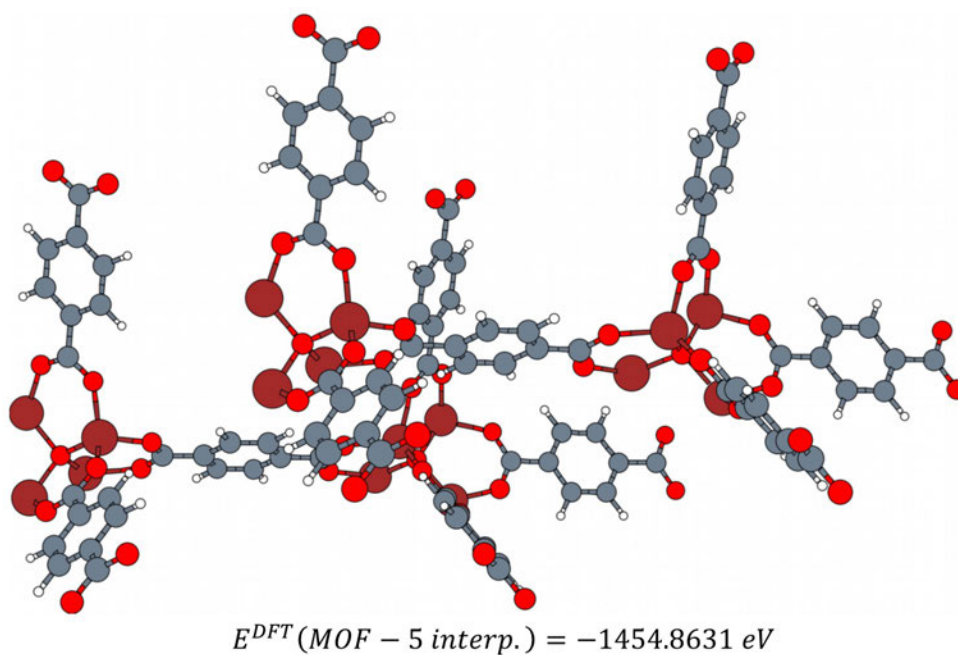


Figura 3.7: Celda primitiva del MOF-5 interpenetrado tras la relajación estructural y su correspondiente energía DFT.

3.2. Adsorción de gases en átomos y moléculas diatómicas

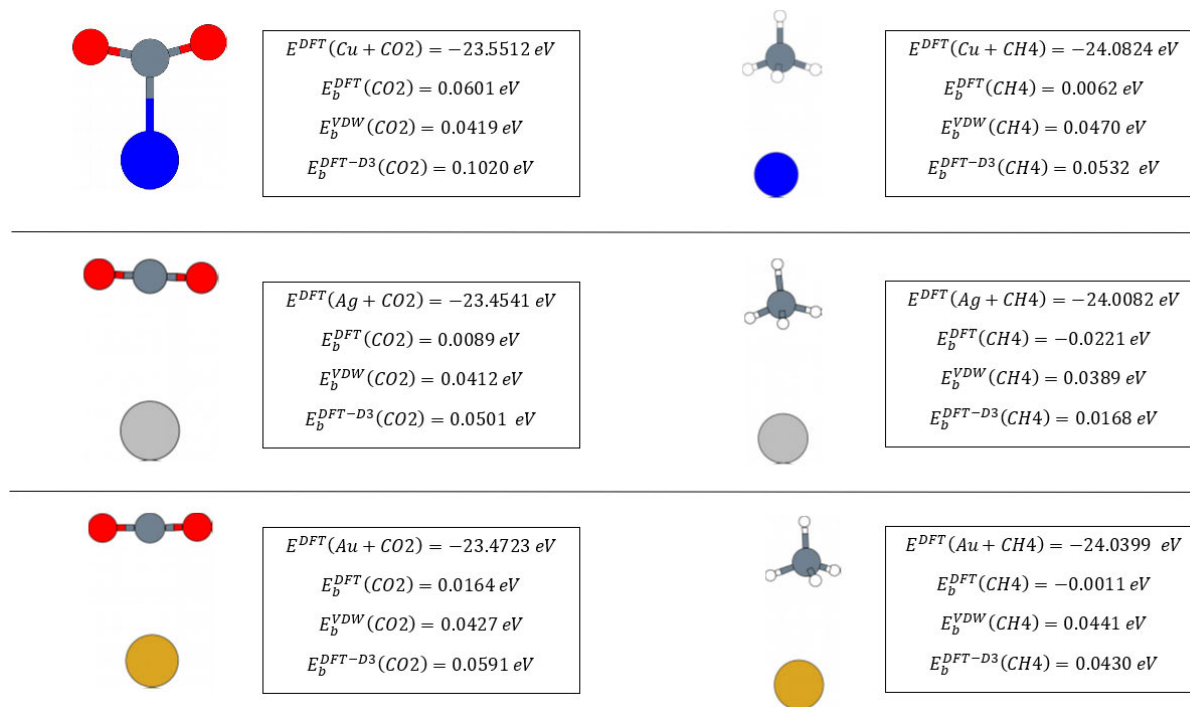


Figura 3.8: Geometrías tras la relajación, energías DFT del sistema y energías de unión del CO₂ (izq.) y CH₄ (dch.) para Cu (arriba), Ag (medio) y Au (abajo).

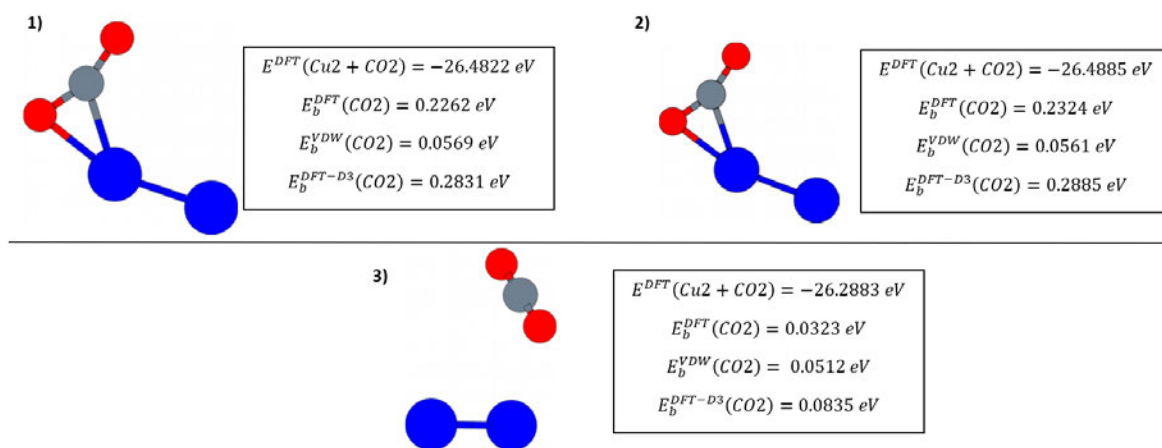


Figura 3.9: Geometrías tras la relajación estructural de diferentes configuraciones iniciales de Cu₂ más CO₂ junto con las energías DFT del sistema y energías de unión del CO₂.

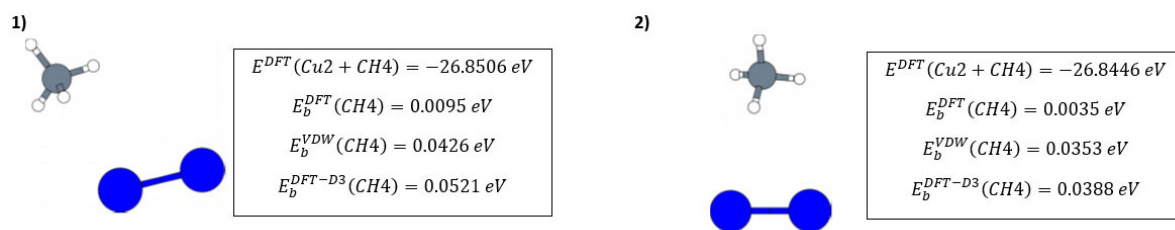


Figura 3.10: Geometrías tras la relajación estructural de diferentes configuraciones iniciales de Cu₂ más CH₄ junto con las energías DFT del sistema y energías de unión del CH₄.

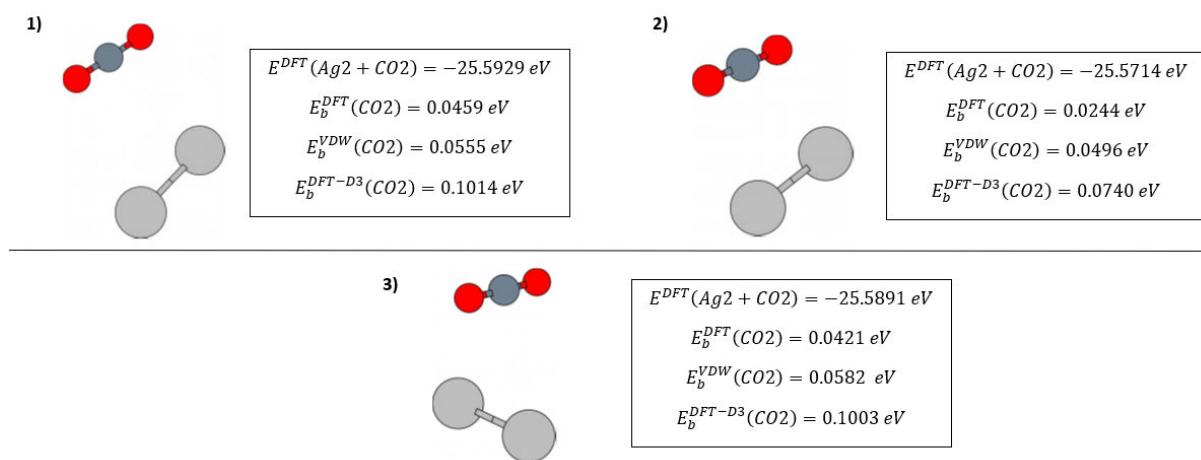


Figura 3.11: Geometrías tras la relajación estructural de diferentes configuraciones iniciales de Ag₂ más CO₂ junto con las energías DFT del sistema y energías de unión del CO₂.

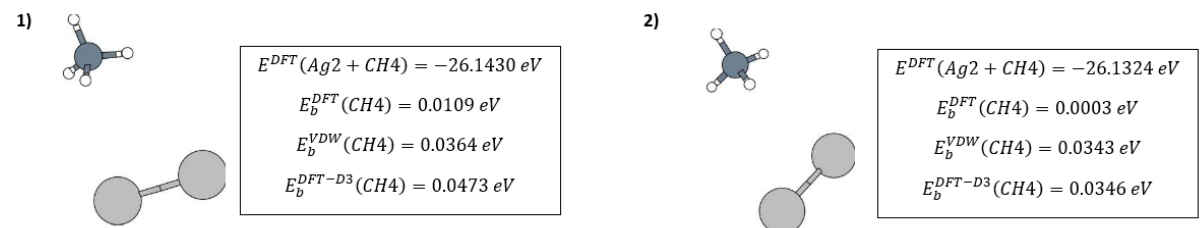


Figura 3.12: Geometrías tras la relajación estructural de diferentes configuraciones iniciales de Ag₂ más CH₄ junto con las energías DFT del sistema y energías de unión del CH₄.

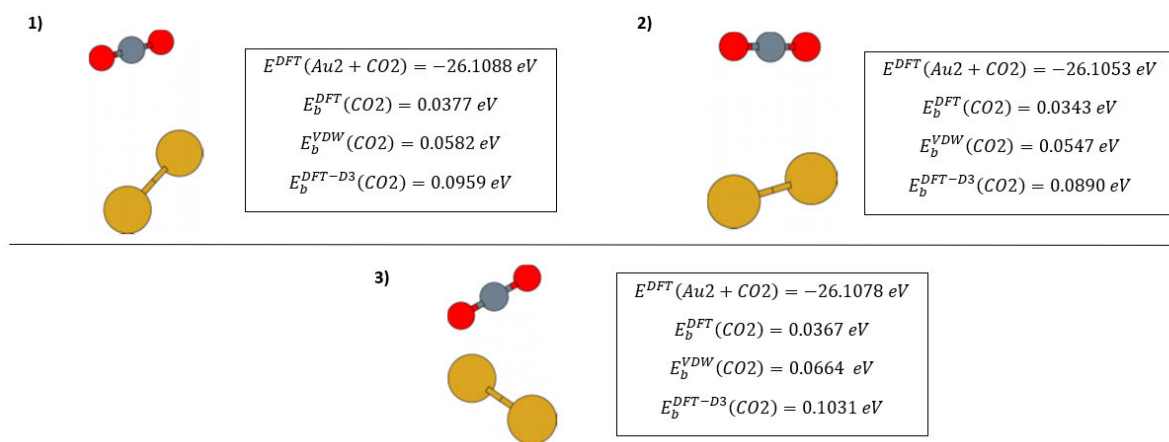


Figura 3.13: Geometrías tras la relajación estructural de diferentes configuraciones iniciales de Au2 más CO2 junto con las energías DFT del sistema y energías de unión del CO2.

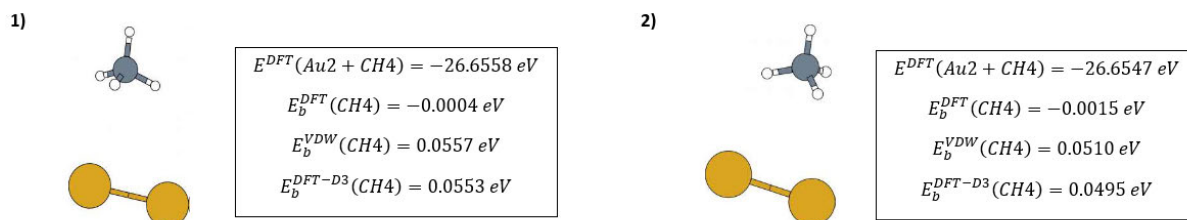


Figura 3.14: Geometrías tras la relajación estructural de diferentes configuraciones iniciales de Au2 más CH4 junto con las energías DFT del sistema y energías de unión del CH4.

3.3. Adsorción de gases en clústeres metálicos

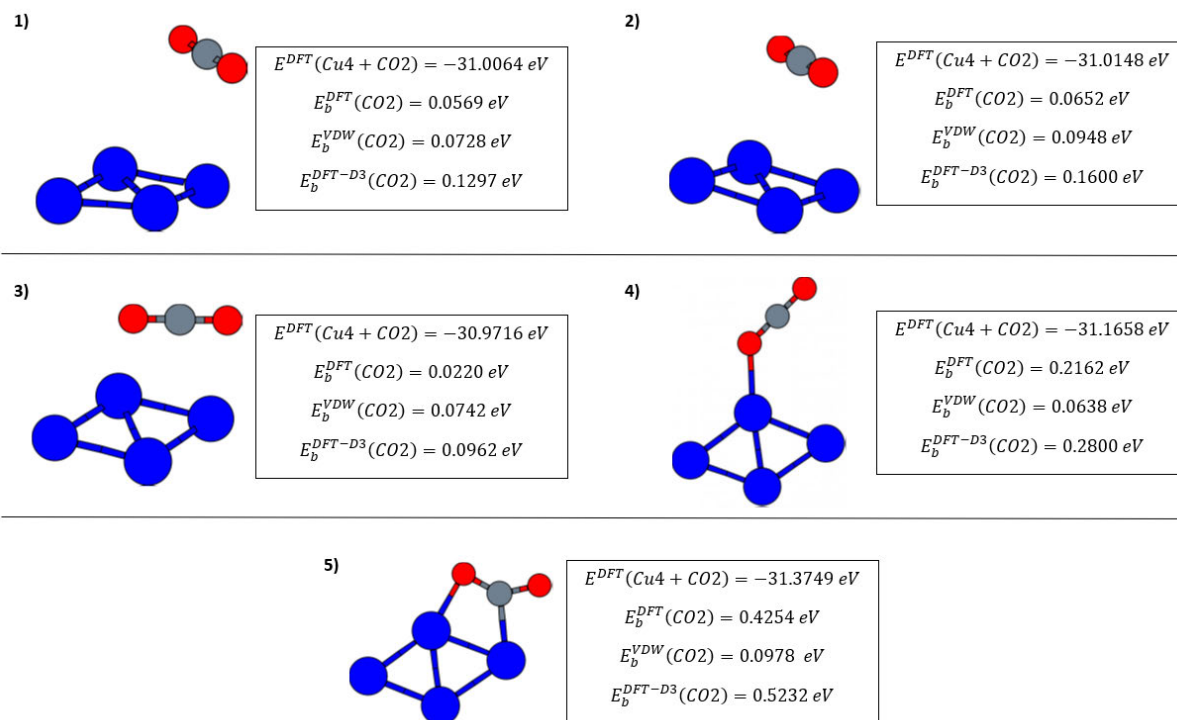


Figura 3.15: Geometrías tras la relajación estructural de diferentes configuraciones iniciales de Cu₄ romboidal más CO₂ junto con las energías DFT del sistema y energías de enlace del CO₂.

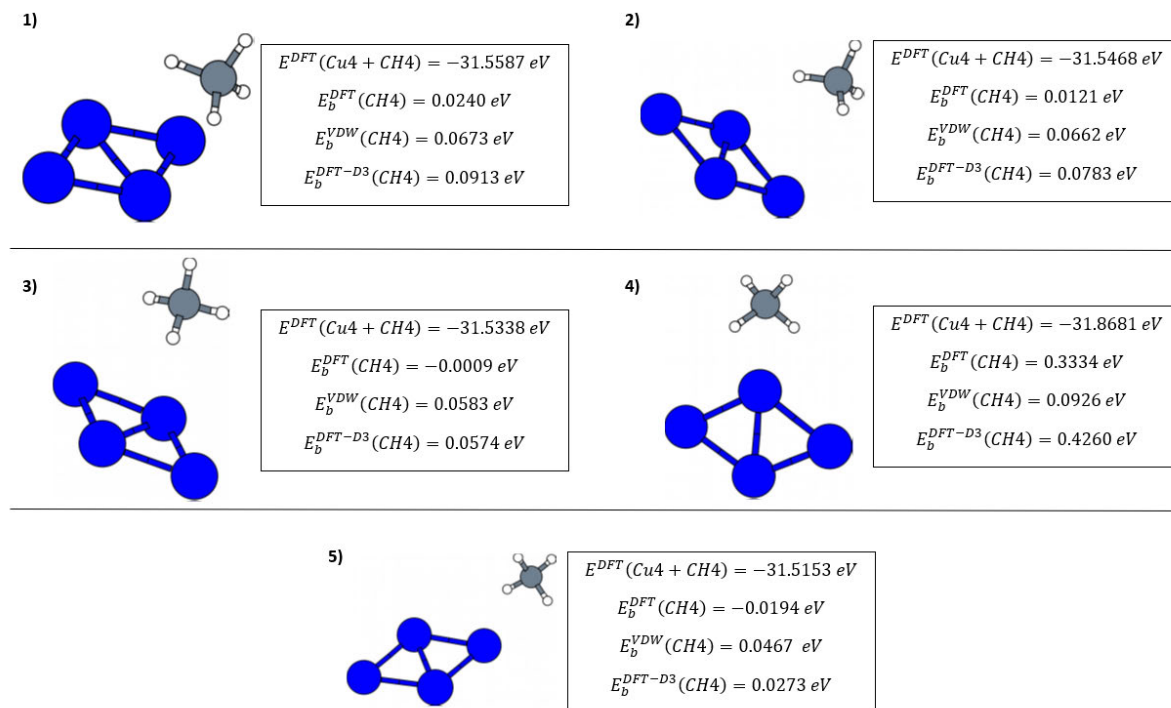


Figura 3.16: Geometrías tras la relajación estructural de diferentes configuraciones iniciales de Cu₄ romboidal más CH₄ junto con las energías DFT del sistema y energías de enlace del CH₄.

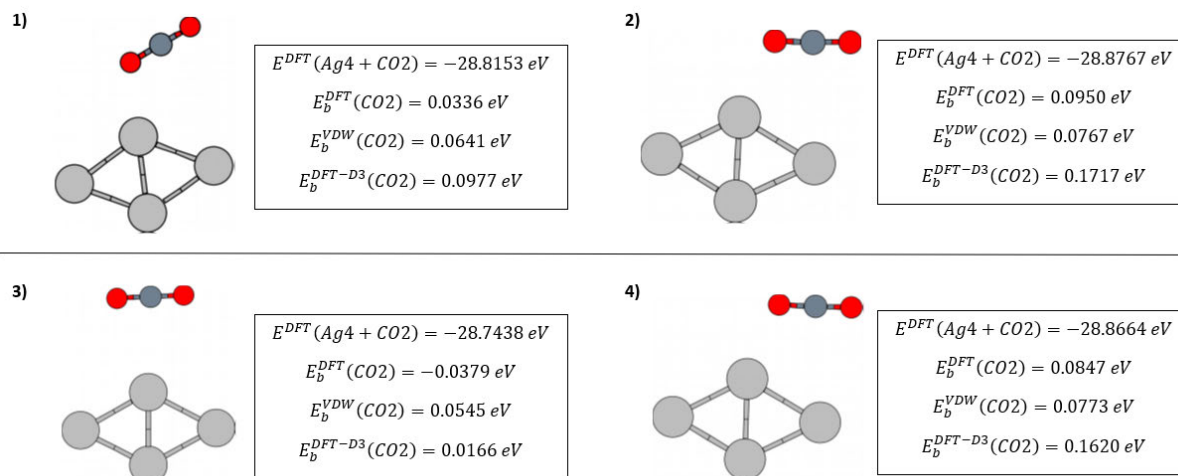


Figura 3.17: Geometrías tras la relajación estructural de diferentes configuraciones iniciales de Ag₄ romboidal más CO₂ junto con las energías DFT del sistema y energías de unión del CO₂.

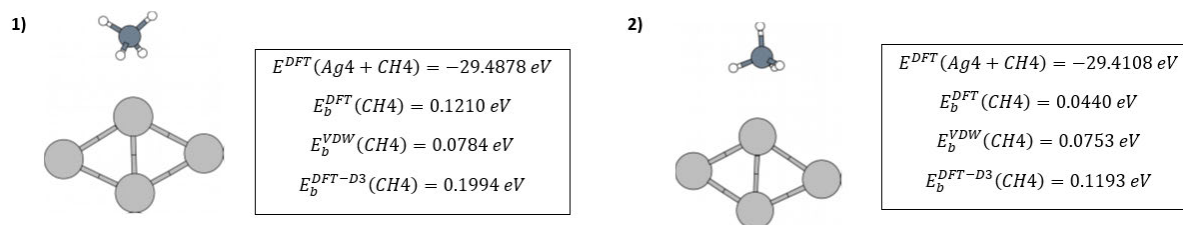


Figura 3.18: Geometrías tras la relajación estructural de diferentes configuraciones iniciales de Ag₄ romboidal más CH₄ junto con las energías DFT del sistema y energías de unión del CH₄.

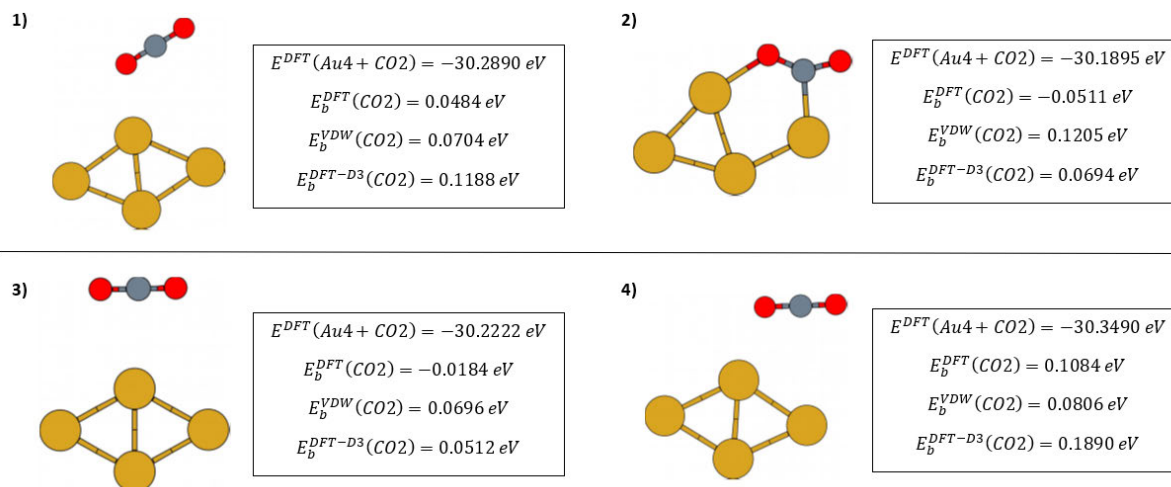


Figura 3.19: Geometrías tras la relajación estructural de diferentes configuraciones iniciales de Au4 romboidal más CO2 junto con las energías DFT del sistema y energías de unión del CO2.

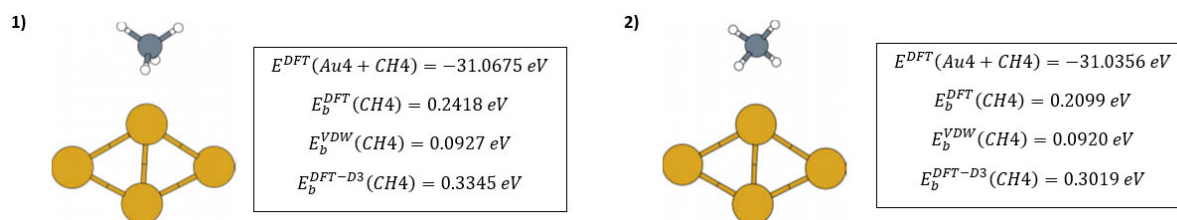


Figura 3.20: Geometrías tras la relajación estructural de diferentes configuraciones iniciales de Au4 romboidal más CH4 junto con las energías DFT del sistema y energías de unión del CH4.

3.3.1. Disociaciones de CH4

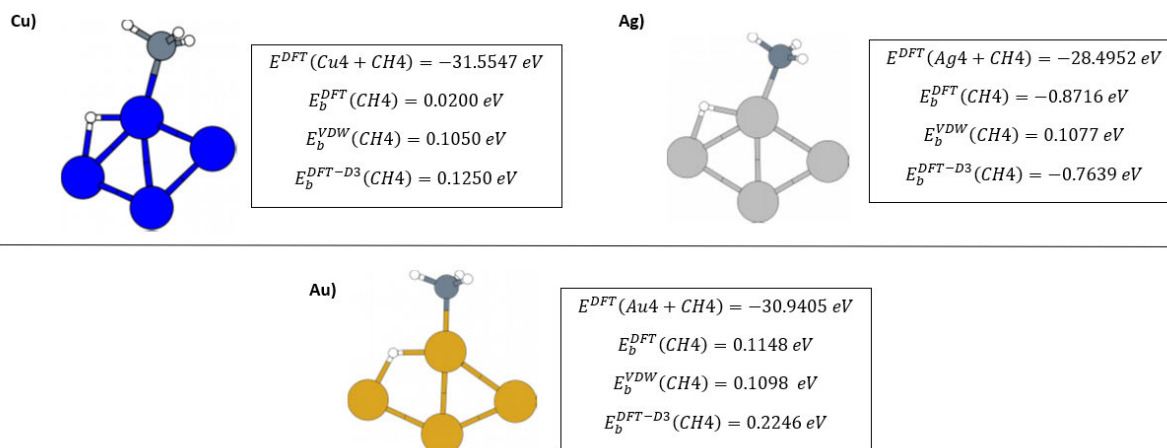


Figura 3.21: Geometrías relajadas junto con su energía DFT y energías de unión de CH4 disociado al Cu4 (izq.), Ag4 (dch.) y Au4 (abajo).

3.4. Adsorción de gases y átomos de metales de transición en el MOF-5

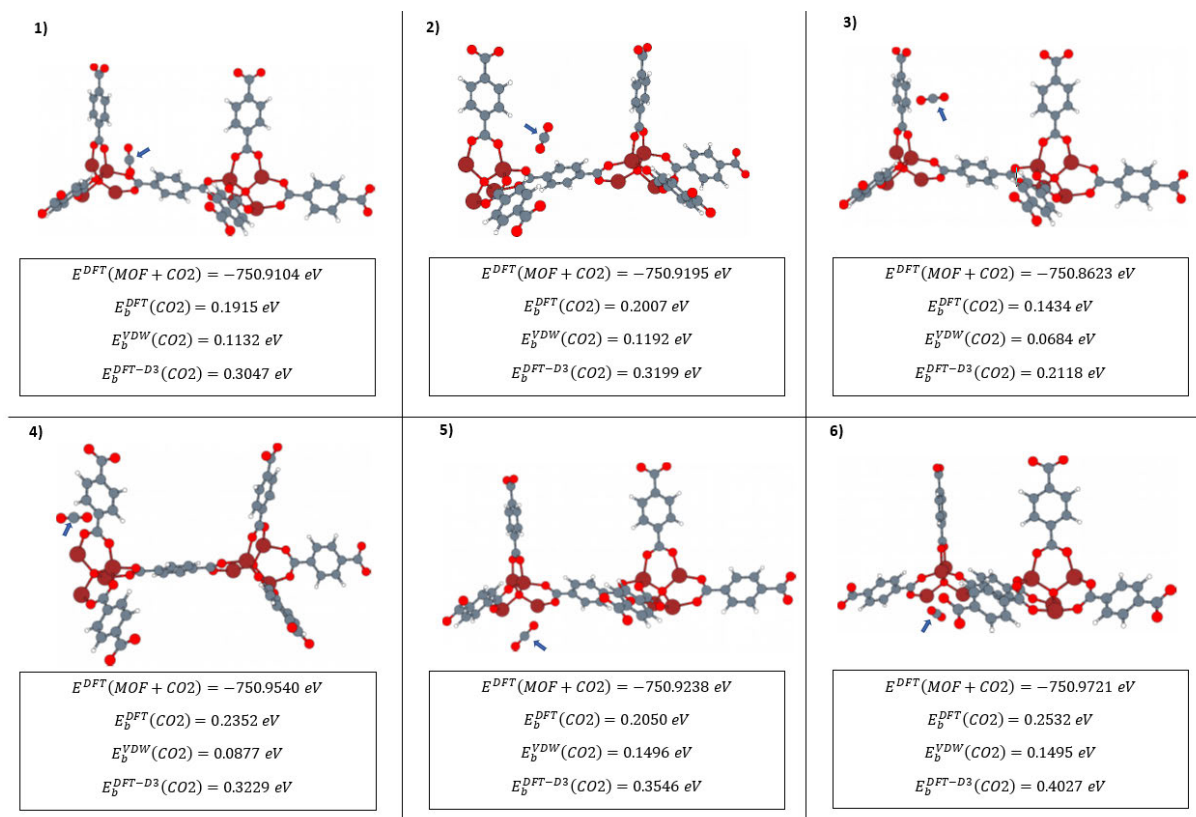


Figura 3.22: Geometrías tras la relajación estructural de diferentes configuraciones iniciales de MOF-5 más CO2 junto con las energías DFT del sistema y energías de unión del CO2.

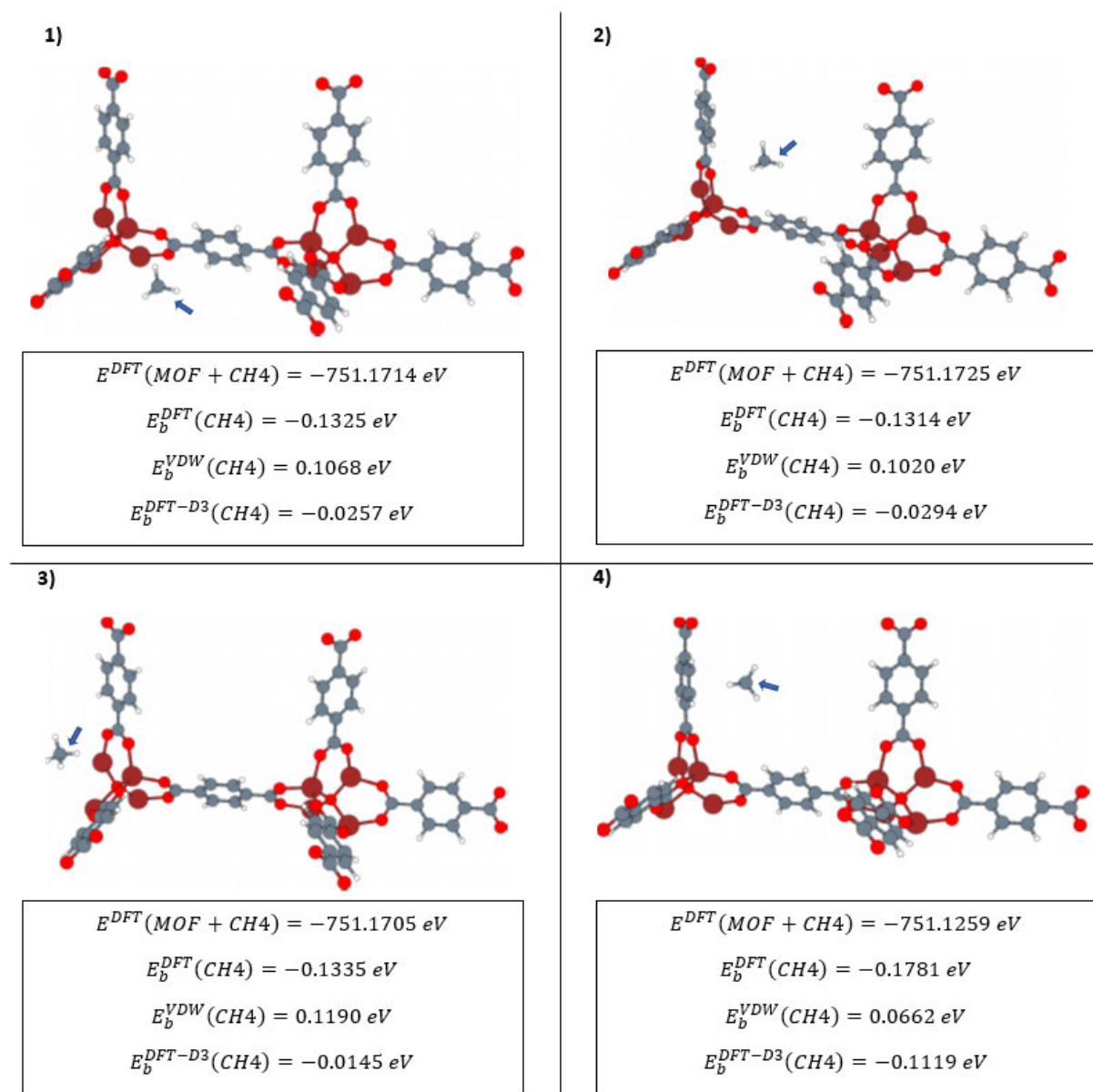


Figura 3.23: Geometrías tras la relajación estructural de diferentes configuraciones iniciales de MOF-5 más CH4 junto con las energías DFT del sistema y energías de unión del CH4.

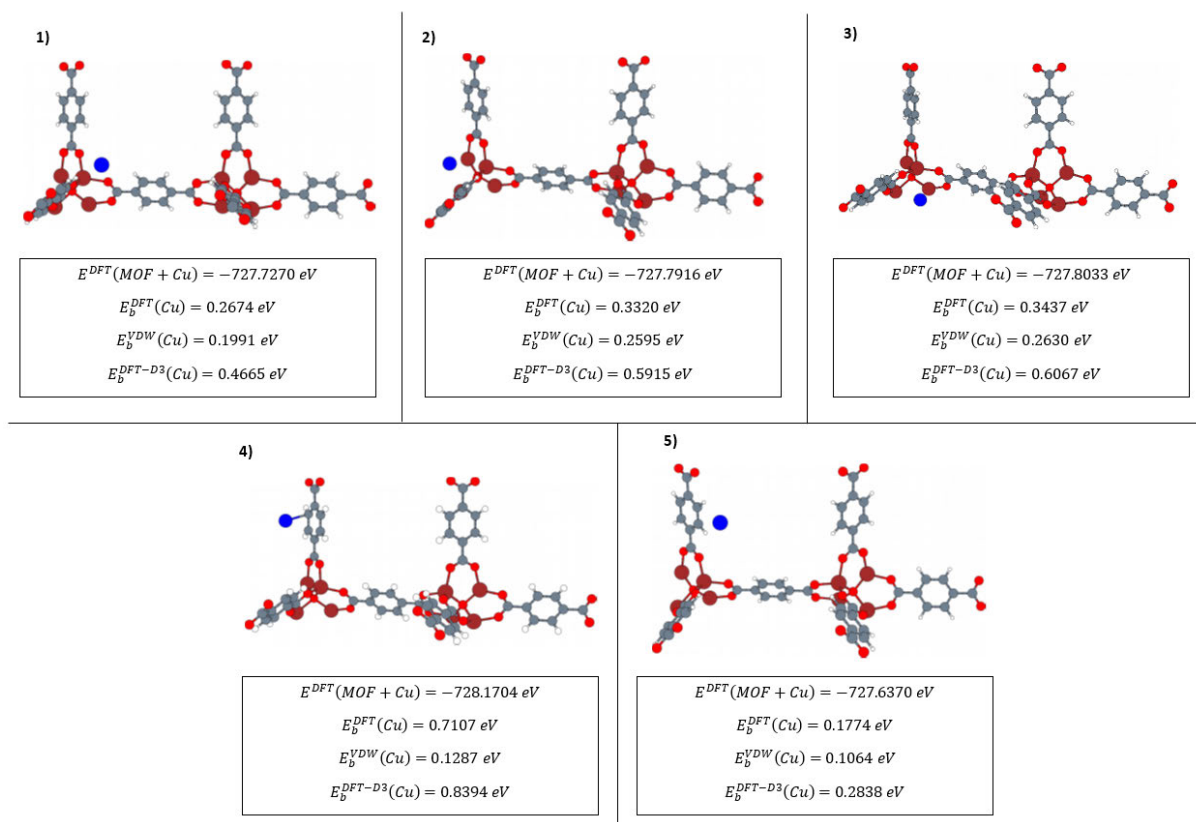


Figura 3.24: Geometrías tras la relajación estructural de diferentes configuraciones iniciales de MOF-5 más Cu junto con las energías DFT del sistema y energías de unión del Cu.

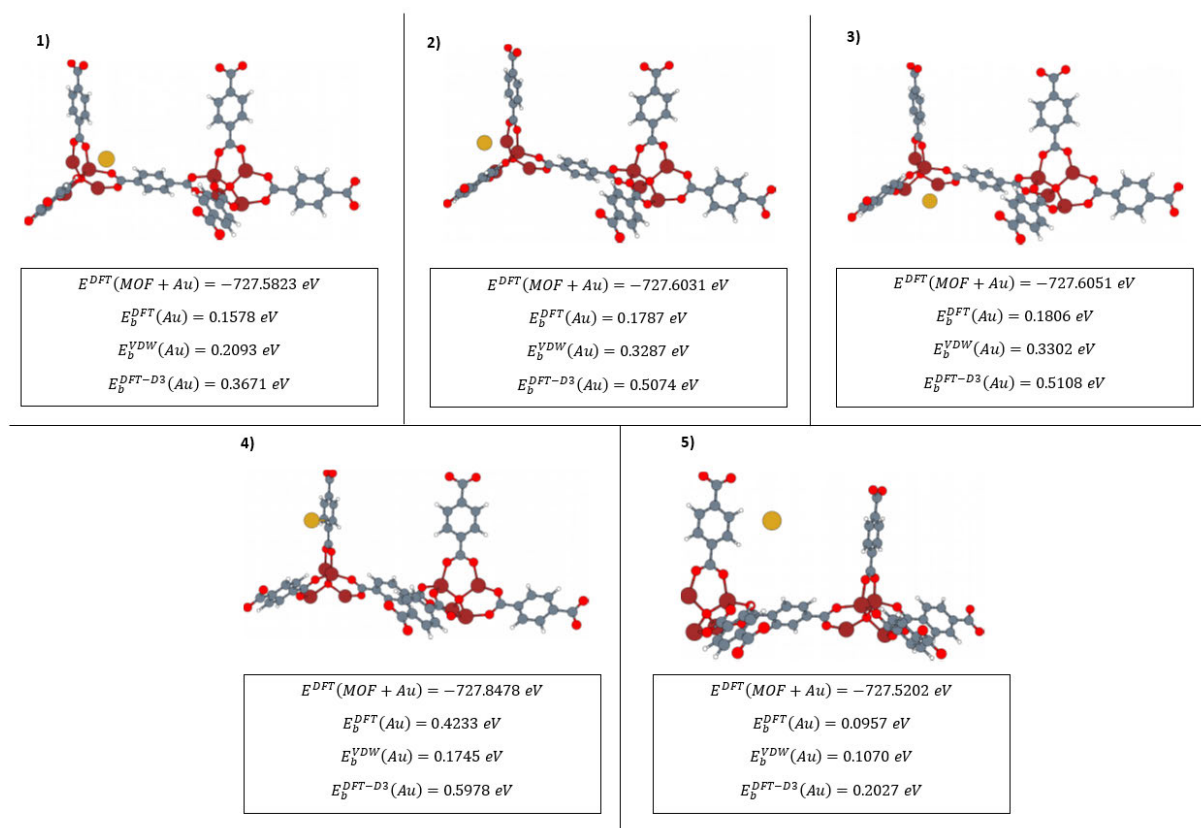


Figura 3.25: Geometrías tras la relajación estructural de diferentes configuraciones iniciales de MOF-5 más Au junto con las energías DFT del sistema y energías de unión del Au.

3.5. Adsorción de gases en MOF-5 dopado con átomos de metales de transición

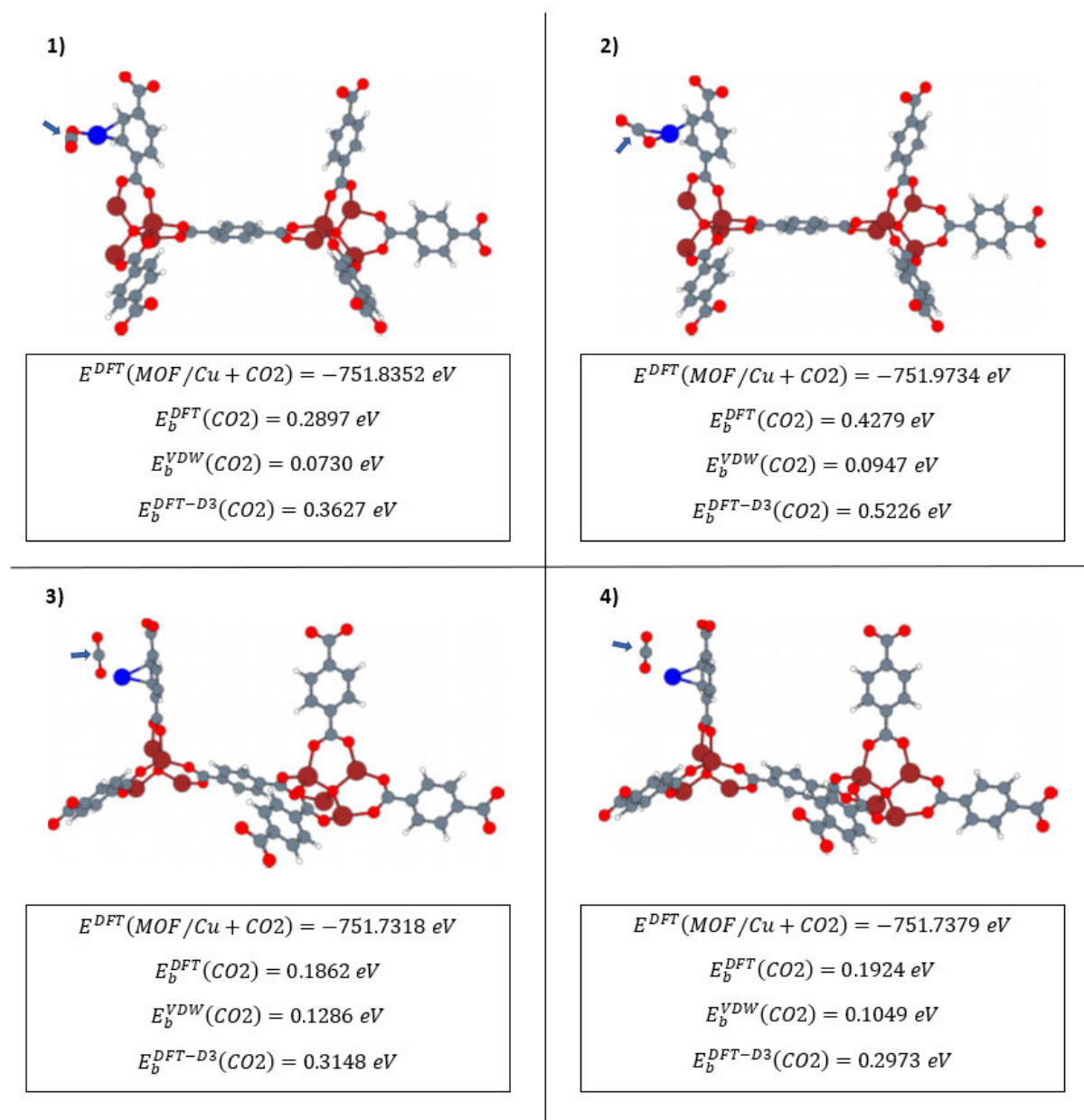


Figura 3.26: Geometrías tras la relajación estructural de diferentes configuraciones iniciales de MOF-5 dopado con Cu al que añadimos CO₂ junto con las energías DFT del sistema y energías de unión del CO₂.

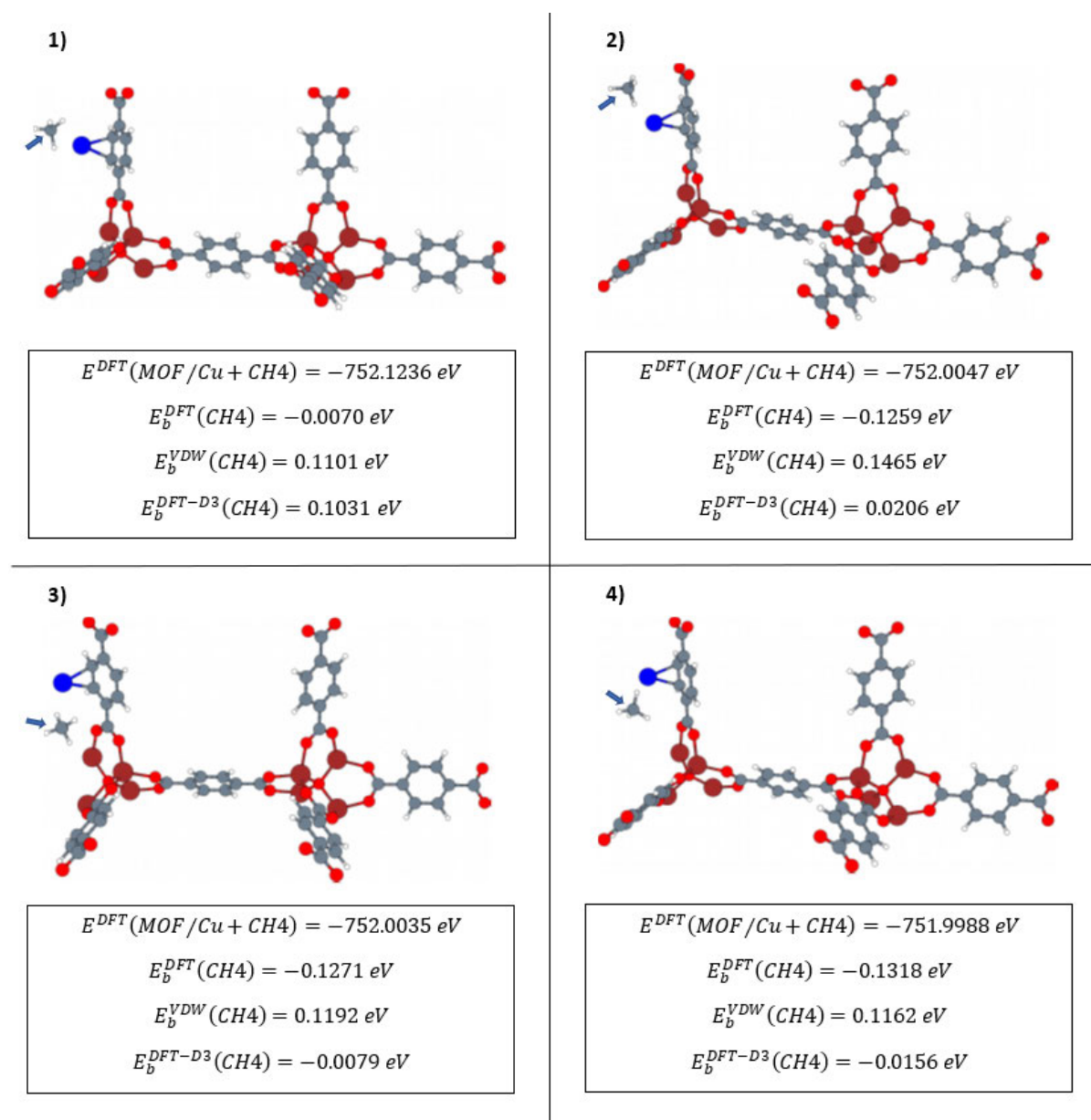


Figura 3.27: Geometrías tras la relajación estructural de diferentes configuraciones iniciales de MOF-5 dopado con Cu al que añadimos CH4 junto con las energías DFT del sistema y energías de unión del CH4.

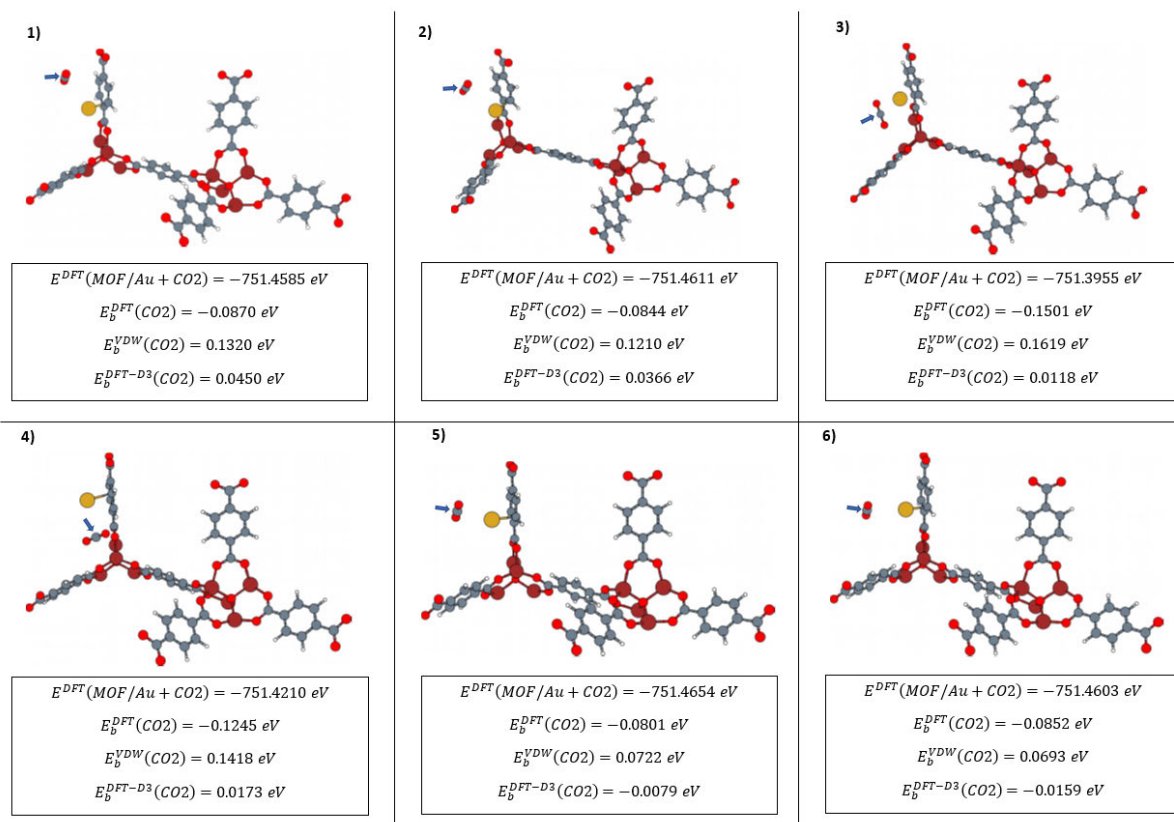


Figura 3.28: Geometrías tras la relajación estructural de diferentes configuraciones iniciales de MOF-5 dopado con Au al que añadimos CO₂ junto con las energías DFT del sistema y energías de unión del CO₂.

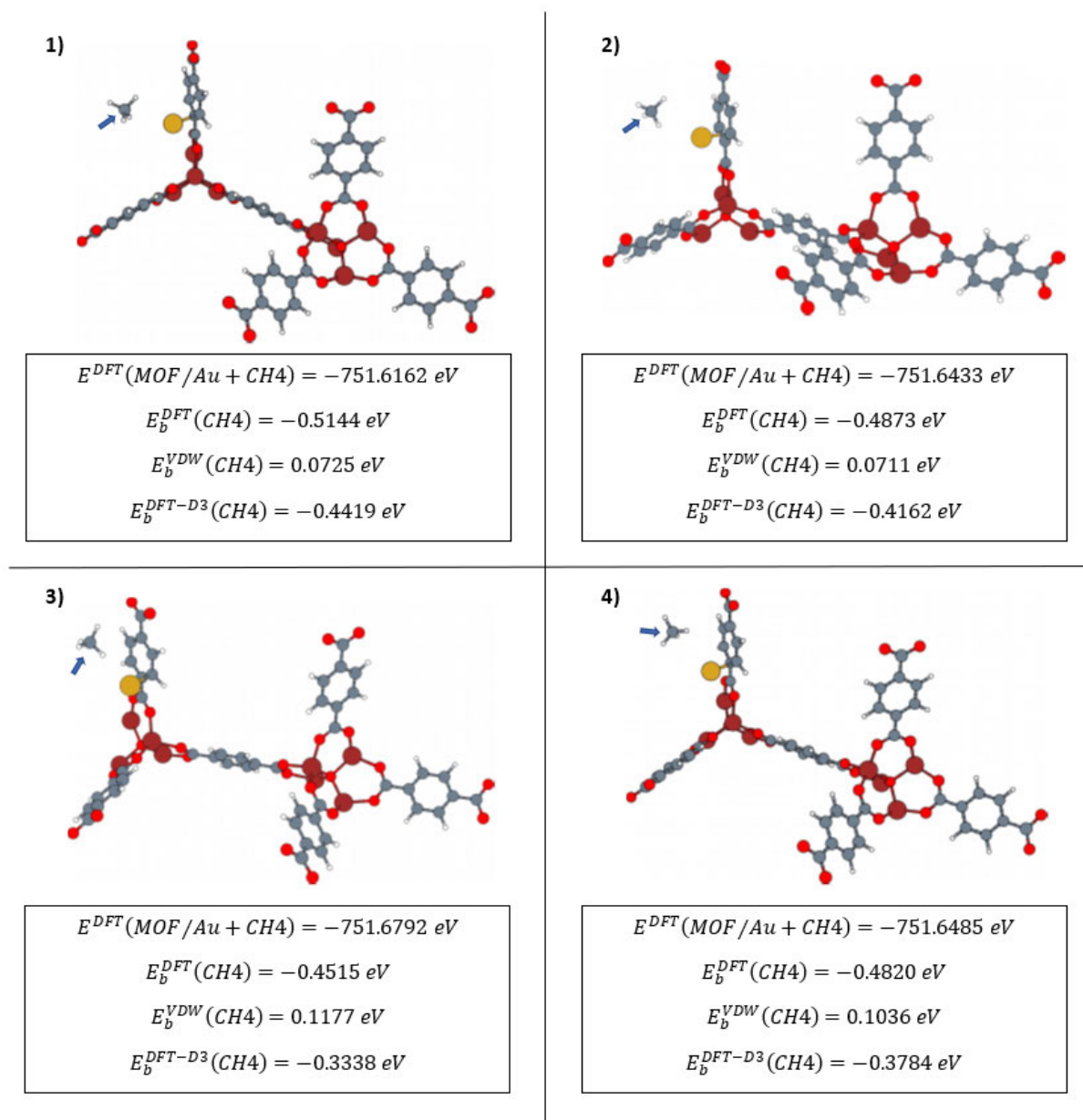


Figura 3.29: Geometrías tras la relajación estructural de diferentes configuraciones iniciales de MOF-5 dopado con Au al que añadimos CH4 junto con las energías DFT del sistema y energías de unión del CH4.

3.6. Adsorción de gases en MOF-5 interpenetrado

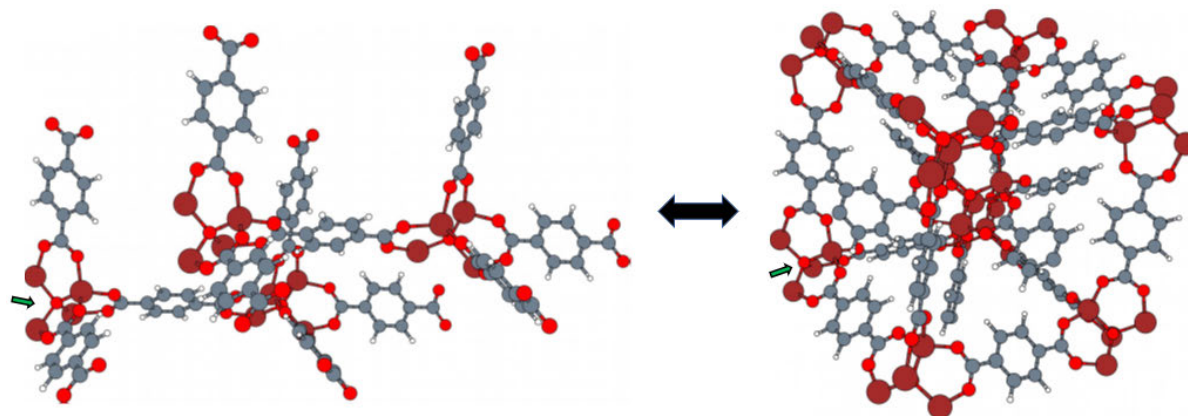


Figura 3.30: Celda primitiva del MOF-5 interpenetrado (izq.) y como pasamos a la celda manipulada (dch.) usando un programa propio. La flecha verde señala el origen de la celda primitiva de manera aproximada

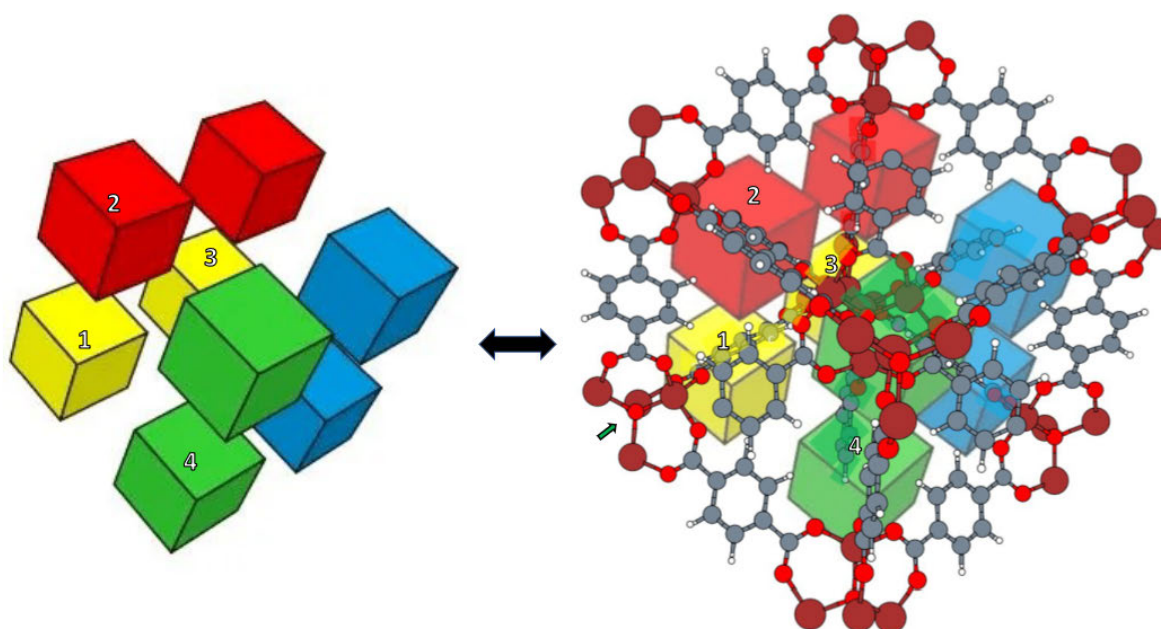


Figura 3.31: Poros que se forman dentro del MOF-5 interpenetrado.

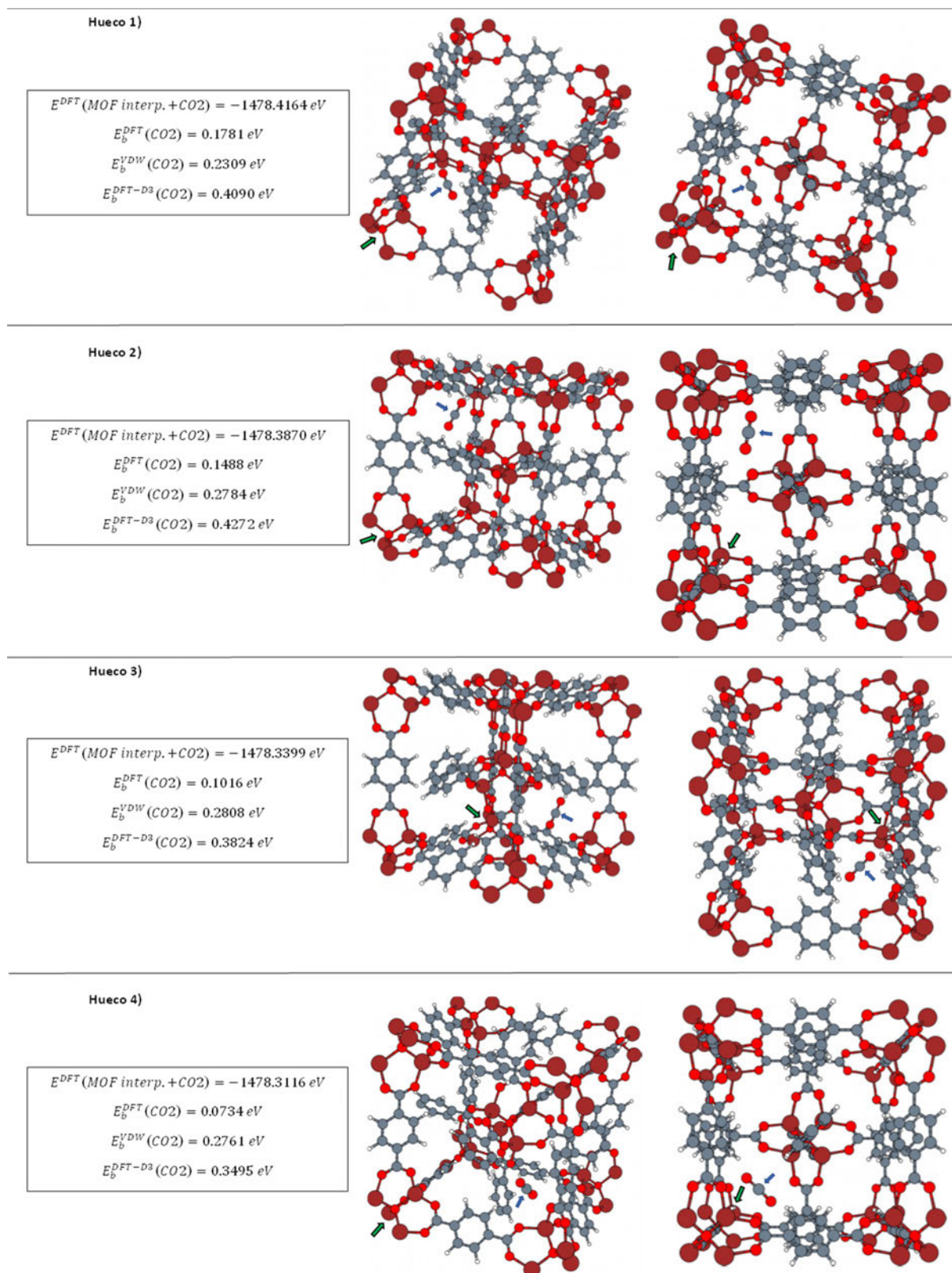


Figura 3.32: Dos perspectivas diferentes, tras la relajación estructural, de geometrías del MOF-5 interpenetrado con una molécula de CO₂ en el huecos 1, 2, 3 y 4. Se adjuntan también la correspondiente energía DFT de las geometrías y las energías de unión del CO₂.

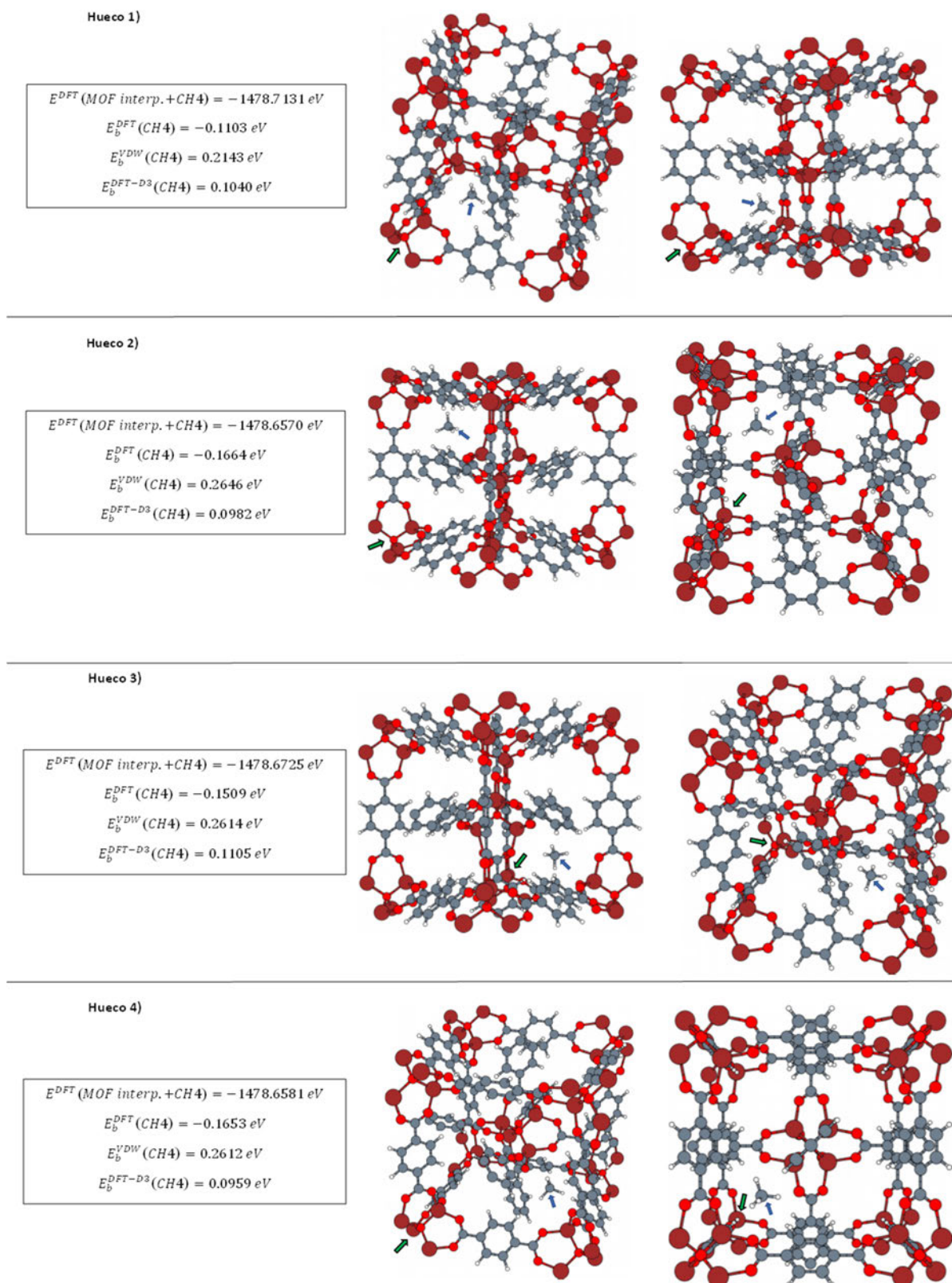


Figura 3.33: Dos perspectivas diferentes, tras la relajación estructural, de geometrías del MOF-5 interpenetrado con una molécula de CH₄ en el huecos 1, 2, 3 y 4. Se adjuntan también la correspondiente energía DFT de las geometrías y las energías de unión del CH₄.